

Starkniederschlagshöhen und -spenden gemäß KOSTRA-DWD-2020

Rasterfeld 72147

(Zeile 72, Spalte 147)

Regenspende und Bemessungsniederschlagswerte in Abhängigkeit von Wiederkehrzeit T und Dauerstufe D

| Dauerstufe D | | Wiederkehrzeit T | | | | | | | | | | | | | | | | | |
|--------------|-----|------------------|------------|------|------------|------|------------|------|------------|-------|------------|-------|------------|-------|------------|-------|------------|-------|------------|
| | | 1 a | | 2 a | | 3 a | | 5 a | | 10 a | | 20 a | | 30 a | | 50 a | | 100 a | |
| min | Std | mm | l / (s ha) | mm | l / (s ha) | mm | l / (s ha) | mm | l / (s ha) | mm | l / (s ha) | mm | l / (s ha) | mm | l / (s ha) | mm | l / (s ha) | mm | l / (s ha) |
| 5 | | 6,3 | 210,0 | 7,7 | 256,7 | 8,6 | 286,7 | 9,7 | 323,3 | 11,3 | 376,7 | 12,9 | 430,0 | 14,0 | 466,7 | 15,5 | 516,7 | 17,5 | 583,3 |
| 10 | | 8,0 | 133,3 | 9,7 | 161,7 | 10,8 | 180,0 | 12,2 | 203,3 | 14,2 | 236,7 | 16,3 | 271,7 | 17,6 | 293,3 | 19,4 | 323,3 | 22,0 | 366,7 |
| 15 | | 9,0 | 100,0 | 11,0 | 122,2 | 12,2 | 135,6 | 13,8 | 153,3 | 16,1 | 178,9 | 18,5 | 205,6 | 20,0 | 222,2 | 22,0 | 244,4 | 25,0 | 277,8 |
| 20 | | 9,8 | 81,7 | 12,0 | 100,0 | 13,3 | 110,8 | 15,0 | 125,0 | 17,6 | 146,7 | 20,1 | 167,5 | 21,8 | 181,7 | 24,1 | 200,8 | 27,2 | 226,7 |
| 30 | | 11,1 | 61,7 | 13,5 | 75,0 | 15,0 | 83,3 | 17,0 | 94,4 | 19,8 | 110,0 | 22,7 | 126,1 | 24,6 | 136,7 | 27,1 | 150,6 | 30,7 | 170,6 |
| 45 | | 12,5 | 46,3 | 15,2 | 56,3 | 16,9 | 62,6 | 19,1 | 70,7 | 22,3 | 82,6 | 25,6 | 94,8 | 27,7 | 102,6 | 30,6 | 113,3 | 34,6 | 128,1 |
| 60 | 1 | 13,6 | 37,8 | 16,6 | 46,1 | 18,4 | 51,1 | 20,8 | 57,8 | 24,3 | 67,5 | 27,8 | 77,2 | 30,2 | 83,9 | 33,2 | 92,2 | 37,6 | 104,4 |
| 90 | 1,5 | 15,3 | 28,3 | 18,6 | 34,4 | 20,7 | 38,3 | 23,4 | 43,3 | 27,3 | 50,6 | 31,3 | 58,0 | 33,9 | 62,8 | 37,4 | 69,3 | 42,3 | 78,3 |
| 120 | 2 | 16,6 | 23,1 | 20,2 | 28,1 | 22,5 | 31,3 | 25,4 | 35,3 | 29,6 | 41,1 | 34,0 | 47,2 | 36,8 | 51,1 | 40,6 | 56,4 | 45,9 | 63,8 |
| 180 | 3 | 18,6 | 17,2 | 22,7 | 21,0 | 25,2 | 23,3 | 28,5 | 26,4 | 33,3 | 30,8 | 38,2 | 35,4 | 41,4 | 38,3 | 45,6 | 42,2 | 51,6 | 47,8 |
| 240 | 4 | 20,2 | 14,0 | 24,6 | 17,1 | 27,4 | 19,0 | 31,0 | 21,5 | 36,1 | 25,1 | 41,4 | 28,8 | 44,9 | 31,2 | 49,5 | 34,4 | 56,0 | 38,9 |
| 360 | 6 | 22,7 | 10,5 | 27,7 | 12,8 | 30,7 | 14,2 | 34,8 | 16,1 | 40,5 | 18,8 | 46,5 | 21,5 | 50,4 | 23,3 | 55,5 | 25,7 | 62,9 | 29,1 |
| 540 | 9 | 25,5 | 7,9 | 31,1 | 9,6 | 34,5 | 10,6 | 39,0 | 12,0 | 45,5 | 14,0 | 52,2 | 16,1 | 56,6 | 17,5 | 62,3 | 19,2 | 70,6 | 21,8 |
| 720 | 12 | 27,7 | 6,4 | 33,7 | 7,8 | 37,4 | 8,7 | 42,3 | 9,8 | 49,4 | 11,4 | 56,7 | 13,1 | 61,4 | 14,2 | 67,7 | 15,7 | 76,6 | 17,7 |
| 1080 | 18 | 31,1 | 4,8 | 37,8 | 5,8 | 42,0 | 6,5 | 47,5 | 7,3 | 55,4 | 8,5 | 63,6 | 9,8 | 68,9 | 10,6 | 75,9 | 11,7 | 86,0 | 13,3 |
| 1440 | 24 | 33,7 | 3,9 | 41,1 | 4,8 | 45,6 | 5,3 | 51,6 | 6,0 | 60,1 | 7,0 | 69,0 | 8,0 | 74,8 | 8,7 | 82,4 | 9,5 | 93,3 | 10,8 |
| 2880 | 48 | 41,1 | 2,4 | 50,0 | 2,9 | 55,5 | 3,2 | 62,8 | 3,6 | 73,2 | 4,2 | 84,0 | 4,9 | 91,1 | 5,3 | 100,4 | 5,8 | 113,6 | 6,6 |
| 4320 | 72 | 46,1 | 1,8 | 56,1 | 2,2 | 62,3 | 2,4 | 70,4 | 2,7 | 82,2 | 3,2 | 94,3 | 3,6 | 102,2 | 3,9 | 112,6 | 4,3 | 127,5 | 4,9 |
| 5760 | 96 | 50,0 | 1,4 | 60,9 | 1,8 | 67,6 | 2,0 | 76,4 | 2,2 | 89,2 | 2,6 | 102,3 | 3,0 | 110,9 | 3,2 | 122,2 | 3,5 | 138,3 | 4,0 |
| 7200 | 120 | 53,3 | 1,2 | 64,9 | 1,5 | 72,0 | 1,7 | 81,5 | 1,9 | 95,0 | 2,2 | 109,0 | 2,5 | 118,2 | 2,7 | 130,2 | 3,0 | 147,4 | 3,4 |
| 8640 | 144 | 56,1 | 1,1 | 68,3 | 1,3 | 75,9 | 1,5 | 85,8 | 1,7 | 100,1 | 1,9 | 114,8 | 2,2 | 124,5 | 2,4 | 137,1 | 2,6 | 155,2 | 3,0 |
| 10080 | 168 | 58,6 | 1,0 | 71,4 | 1,2 | 79,3 | 1,3 | 89,6 | 1,5 | 104,6 | 1,7 | 120,0 | 2,0 | 130,0 | 2,1 | 143,3 | 2,4 | 162,2 | 2,7 |

Starkniederschlagshöhen und -spenden gemäß KOSTRA-DWD-2020

Rasterfeld 72147

(Zeile 72, Spalte 147)

Örtliche Unsicherheiten in Abhängigkeit von Wiederkehrzeit T und Dauerstufe D

| Dauerstufe D | | Wiederkehrzeit T | | | | | | | | |
|--------------|-----|------------------|-----|-----|-----|------|------|------|------|-------|
| | | 1 a | 2 a | 3 a | 5 a | 10 a | 20 a | 30 a | 50 a | 100 a |
| min | Std | ± % | ± % | ± % | ± % | ± % | ± % | ± % | ± % | ± % |
| 5 | | 15 | 17 | 17 | 18 | 19 | 20 | 20 | 20 | 21 |
| 10 | | 16 | 18 | 19 | 20 | 21 | 22 | 23 | 23 | 24 |
| 15 | | 17 | 19 | 20 | 21 | 22 | 23 | 24 | 24 | 25 |
| 20 | | 17 | 19 | 20 | 21 | 22 | 23 | 24 | 24 | 25 |
| 30 | | 16 | 18 | 19 | 20 | 22 | 23 | 23 | 24 | 25 |
| 45 | | 15 | 17 | 18 | 19 | 21 | 22 | 22 | 23 | 24 |
| 60 | 1 | 14 | 16 | 17 | 18 | 20 | 21 | 21 | 22 | 23 |
| 90 | 1,5 | 12 | 15 | 16 | 17 | 18 | 19 | 20 | 20 | 21 |
| 120 | 2 | 12 | 14 | 15 | 16 | 17 | 18 | 19 | 19 | 20 |
| 180 | 3 | 11 | 12 | 13 | 14 | 16 | 17 | 17 | 18 | 19 |
| 240 | 4 | 10 | 12 | 13 | 14 | 15 | 16 | 16 | 17 | 18 |
| 360 | 6 | 10 | 11 | 12 | 13 | 14 | 15 | 15 | 16 | 16 |
| 540 | 9 | 10 | 11 | 11 | 12 | 13 | 14 | 14 | 15 | 15 |
| 720 | 12 | 11 | 11 | 11 | 12 | 13 | 13 | 14 | 14 | 15 |
| 1080 | 18 | 13 | 12 | 12 | 12 | 13 | 13 | 14 | 14 | 14 |
| 1440 | 24 | 14 | 13 | 13 | 13 | 13 | 14 | 14 | 14 | 15 |
| 2880 | 48 | 18 | 17 | 16 | 16 | 16 | 16 | 16 | 16 | 16 |
| 4320 | 72 | 21 | 19 | 19 | 18 | 18 | 17 | 17 | 17 | 17 |
| 5760 | 96 | 23 | 21 | 20 | 20 | 19 | 19 | 19 | 19 | 19 |
| 7200 | 120 | 24 | 22 | 22 | 21 | 20 | 20 | 20 | 20 | 20 |
| 8640 | 144 | 25 | 23 | 23 | 22 | 21 | 21 | 21 | 21 | 20 |
| 10080 | 168 | 26 | 24 | 24 | 23 | 22 | 22 | 22 | 22 | 21 |

Parameter für abweichende T und D

Lokationsparameter ξ (Xi)

13,68495478

Skalenparameter α (Alpha)

4,13529114

Formparameter κ (Kappa)

-0,1

1. Koutsoyiannis-Parameter θ (Theta)

0,0079201

2. Koutsoyiannis-Parameter η (Eta)

0,71595346

Parameter für dauerstufenübergreifende Extremwertschätzung nach KOUTSOYIANNIS et al. 1998.

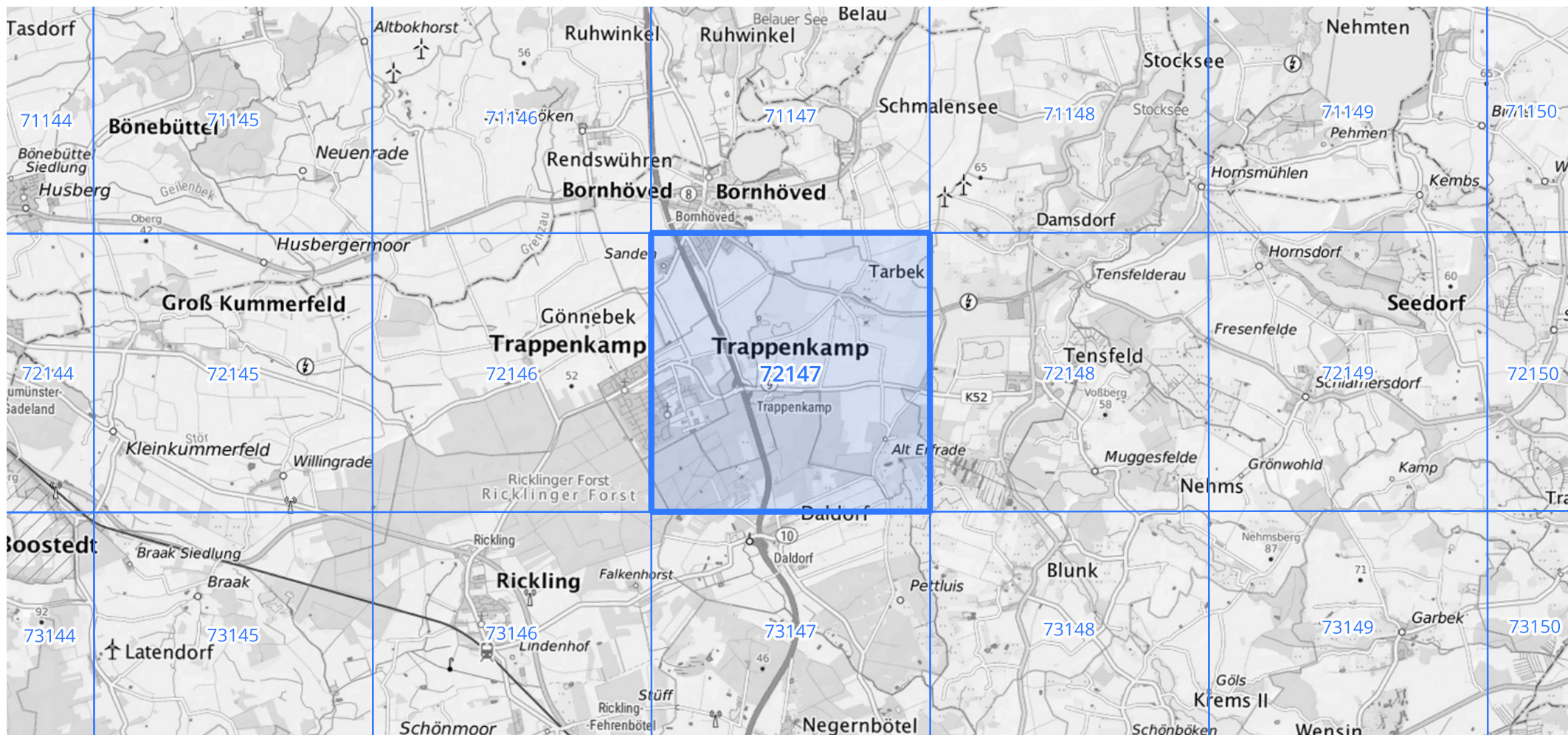
Siehe auch Anwendungshilfe zu KOSTRA-DWD-2020 des Deutschen Wetterdienstes.

Starkniederschlagshöhen und -spenden gemäß KOSTRA-DWD-2020

Rasterfeld 72147

(Zeile 72, Spalte 147)

Übersichtskarte des Rasterfeldes 72147, M 1 : 100 000



Quelle Rasterdaten: KOSTRA-DWD-2020 des Deutschen Wetterdienstes, Stand 12/2022.

Seite 3 von 3

Kartendarstellung: © Bundesamt für Kartographie und Geodäsie (2023), Datenquellen: https://sgx.geodatenzentrum.de/web_public/gdz/datenquellen/Datenquellen_TopPlusOpen.html

Für die Richtigkeit und Aktualität der Angaben wird keine Gewähr übernommen. Erstellt 01/2023.